

琉球大学学術リポジトリ

沖縄における農地保全の基礎的研究 VII： 国頭マーチの土壤侵食標準試験区における流失土量 について(農業工学科)

メタデータ	言語: 出版者: 琉球大学農学部 公開日: 2008-02-14 キーワード (Ja): キーワード (En): 作成者: 翁長, 謙良, Onaga, Kenryo メールアドレス: 所属:
URL	http://hdl.handle.net/20.500.12000/4209

沖縄における農地保全の基礎的研究 VII^{*}
— 国頭マーデの土壤侵食標準試験区に
おける流亡土量について —

翁 長 謙 良^{**}

Kenryo ONAGA : Fundamental Studies on Farmland Conservation
in Okinawa VII. The Relationship Between Soil Loss and Rainfall
Energy on Standard Soil Erosion Testing Plots.

I 緒 言

沖縄本島北部に広く分布する国頭マーデは一般に受食性の高い土壤といわれており¹⁰⁾開畠、圃場整備、パイン作付更新の際の表土はぎ等の際には危険降雨があると Photo 1 にみるように土壤侵食が顕著であり、その結果による土壤流亡は河海汚染の原因の一つとされている⁹⁾。流域環境のみならず沿岸の底

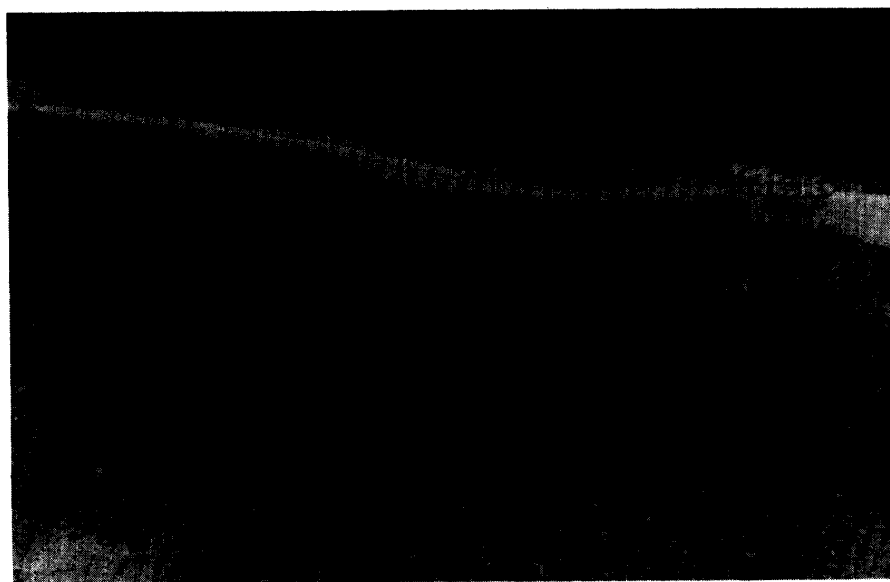


Photo. 1. Erosion in newly reclaimed area

* 昭和 53 年度農業土木学会大会講演会にて発表

** 琉球大学農学部農業工学科

琉球大学農学部学術報告 25 : 351 ~ 359 (1978)

生生物の生態系や、漁業等への影響も看過できないものであり、早急に土壤流亡抑制の対策を講ずる必要がある。このことにかんがみ、合理的な開畠や、圃場整備に関する基礎的研究の一環として、現場において、侵食試験区を設定し、降雨エネルギーと傾斜度別による土壤流亡との関係等を調べたのでその概要を報告する。

II 実験設備および実測方法

試験区は国頭マーディが広く分布するほぼ南限の金武村字屋嘉で那覇の北方約40kmの地点である。試験区の区画は斜面長20m、幅2mとし、傾斜をそれぞれ8度、5度、3度に設定し、毎降雨の流亡土量および流出水量を実測することにした。試験区ワクは巾30cm、長さ400cm、厚さ2.3cmの板を用い土中に20cm埋め、板の上端を土壤面上10cmとした。それぞれの試験区の間隔は約1.5mである。試験区下流端には流亡土貯溜用のタンクT₁と水位計設置用のタンクT₂があり、両者は傾斜度別にそれぞれパ

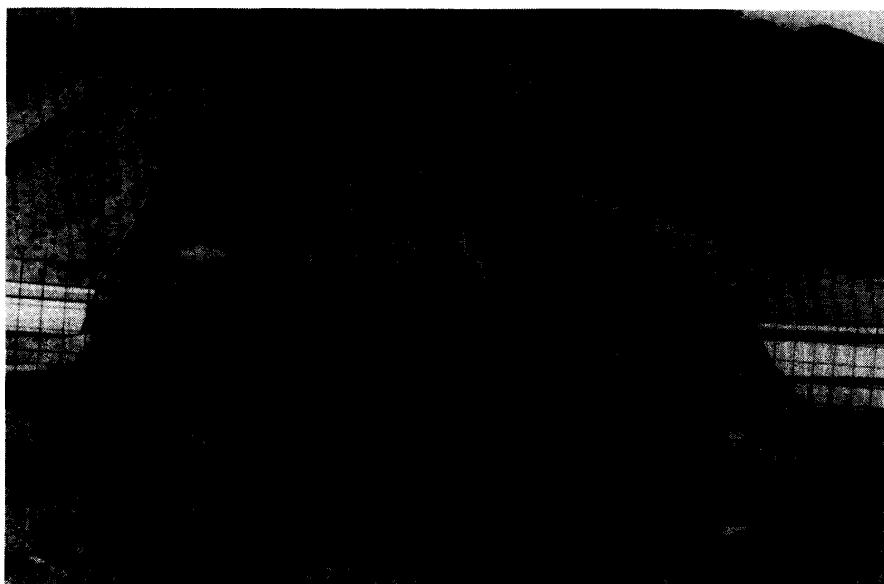


Photo. 2. Experiment plots at Yaka

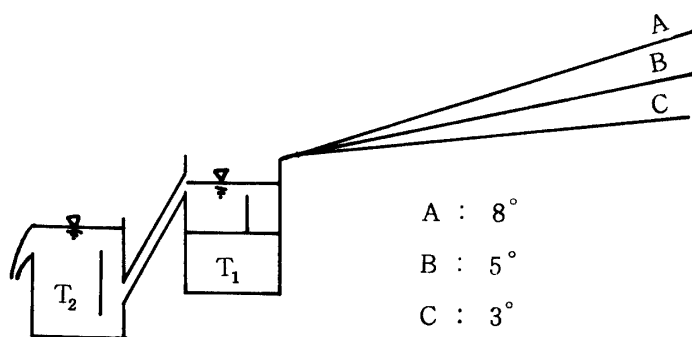


Fig. 1. Shematic drawing of experiment apparatus

T₁: Soil Tank 74cm×76×60 T₂: Discharge Tank 41cm×74×55

Table 1. Soil textural composition and physical properties

Gravel %	Coarse Sand %	Fine Sand %	Silt %	Clay %	Colloid %
2 mm <	2 - 0.42	0.42 - 0.074	0.074 - 0.005	0.005 >	0.001 >
2.97	11.4	17.6	17.4	23.9	12.0
Specific Gravity	Liquid Limit	Plastic Limit	Plastisity Index	Dispersion Ratio	Permeability (cm/sec.)
2.68	37.50	25.78	11.72	64.7	1.37×10^{-4}

イブで連絡されており、T₁のタンクおよびT₁と試験区を接続する土砂導入部は降雨しゃ断のためふたをしてある。

流亡土の測定はタンクに溜った泥水の上水を排除し、残留土をよくかき混ぜ、各試験区からT型ポリビン(1000cc)に採取し、実験室に持ち帰り炉乾重量を求め、全流亡土量を計算した。試験区の圃場面は流亡土採取の際つねに10cm程度に耕うんし整形した。試験区(写真)および測定装置をPhoto 2, Fig. 1に示す。土壤の粒度組成および物理性はTable 1のとおりであり、三角座標分類では粘土に属する。また表土(0~10cm)の仮比重は1.4であった。

III 結果および考察

1. 降雨エネルギー

沖縄において、土壤侵食に関する降雨特性の中で、降雨の季節分布、降雨強度、雨滴の粒度分布、危険降雨回数等について2, 3の報告^{6) 11) 12)}があるが、その他の特性について、藤原⁴⁾は雨滴の粒径分布の差異による雨滴のエネルギーに重点を置いて理論解析を行ない、山口県の雨と比較して沖縄県の雨は一般にその強度が大であることを指摘している。また種田は全国57ヶ所の昭和34~48年の降雨資料からWischmeire, Smithによる式¹³⁾をもとに、各地の月別EI値および降雨侵食の可能性を示

Table 2. R value of each location in Japan

地名	R値	地名	R値	地名	R値
室蘭	122	銚子	315	広島	306
函館	125	横浜	297	徳島	447
秋田	177	富山	268	高知	784
白河	199	金沢	334	熊本	504
静岡	619	津	401	宮崎	682
浜松	433	京都	393	鹿児島	491
岐阜	385	潮岬	1097	那覇	774

Table 3. Average EI value at Naha of each month (1959-1973)

month	1	2	3	4	5	6	7	8	9	10	11	12	Total
E I value	14.9	24.2	56.4	24.5	84.9	111.3	88.5	127.3	44.8	84.7	73.9	38.6	774.0
%	1.9	3.1	7.3	3.2	11.0	14.4	11.4	16.4	5.8	10.9	9.5	5.0	100.0

す降雨係数(R)を計算している¹⁶⁾。Table 2は各地区で R の大きい方から2~3抽出したものである。那覇の R 値は潮岬、高知に次ぐもので極めて高いといえよう。また那覇の R 値の内訳はTable 3のとおりであり、月別にEI値をみると高い方から8月、6月、7月、5月の順となり、年平均の R 値の大半はこれら4ヶ月に集中している。

試験地の降雨資料は200m程離れた嘉芸小学校に設置されている有線ロボット気象計の降雨記録である。Table 4の降雨量は土壤流亡(t/ha)に関与したとみられる¹⁵⁾連続13mm以上の降雨の総和であり、EI値は種田が Wishmeire, Smith の式 $E = 916 + 331 \log_{10} I$ [式中E:降雨の運動エネルギー($ft \cdot t/acre \cdot inch$), I:降雨強度($inch/hr$)]で降雨エネルギーの単位を $10^3 mm \cdot m/t/ha \cdot hr$ に換算した計算方法にもとづき算出したものである。

Table 4. Soil loss vs EI value of each testing Plot

Rainfall (mm)	EI-Value 10mm t/m/ha.hr.	Soil Loss (t/ha)			Rainfall influenced soil loss in mm
		A	B	C	
71	109	62.68	44.26	12.21	6/2
36	27	13.28	9.08	4.66	6/6
84	46	33.10	20.78	11.87	6/18 (21), 6/19 (28), 6/21 (35)
35	9	17.19	10.43	3.61	7/8
183	186	110.65	83.61	63.89	8/16 (15), 8/21 (149), 8/22 (19)
86	164	73.53	60.21	27.73	9/25
33	12	49.21	21.34	6.45	11/30
34	11	11.69	7.26	4.14	12/5
52	18	15.87	16.10	9.26	53, 2/14 (18), 3/4 (34)
104	118	58.66	33.74	26.80	3/9
59	45	12.74	11.56	9.06	3/18 (14), 3/21 (45)
50	16	6.39	6.86	5.93	4/6 (31), 4/10 (19)
96	33	40.75	27.85	16.61	4/16 (30), 4/23 (14), 4/29 (52)
Total 923	794	505.74	353.08	202.22	

2. 傾斜と流亡土量との関係

昭和52年6月より53年4月まで20回の降雨による流亡土を13回にわたって測定した結果がTable 5である。傾斜と流亡土量との関係については数多くの研究がなされているが、いくつかの例を引用す

るとつきのとおりである。すなわち三原⁷⁾は人工降雨による試験の結果、一降雨下では傾斜が小さい程浸透の減退が激しく、平坦に近い程流去水は増大するが、土壤流亡は逆になると指摘しており、Swanson等¹⁴⁾は Holdrege Silt loam を用いた人工降雨 (2.5 inch/hr.) による侵食試験で傾斜 3% から 12% の間で 1% につき 1.27 tons/acre の流亡土量の増加があることを明らかにした。

またWischmeire 等¹⁸⁾は 3%～22% の傾斜では $A = 0.43 + 0.30S + 0.04S^2$ なる式が成り立つことを提唱した。式中 A : 流亡土量 (tons/acre), S : 傾斜度 (%) である。更に Neal⁸⁾は飽和状態の土壤での流亡土は降雨強度 (inch/hr.) の 2.2 乗、傾斜度 (%) の 0.7 乗に比例すると述べている。

以上のように傾斜と流亡土量の関係は土層、土壤の状態、降雨強度等の条件設定が同一でなく、解析が容易でない。

今回の測定結果から EI 値を 3 段階に区分し、傾斜と流亡土の関係を示したのが Fig. 2 である。2 つの例を除いては傾斜の大きい程流亡土量が大であるが、降雨条件、土壤の初期条件等が異なるので、両者の関係を数式化するには更に多くの測定を重ねる必要がある。

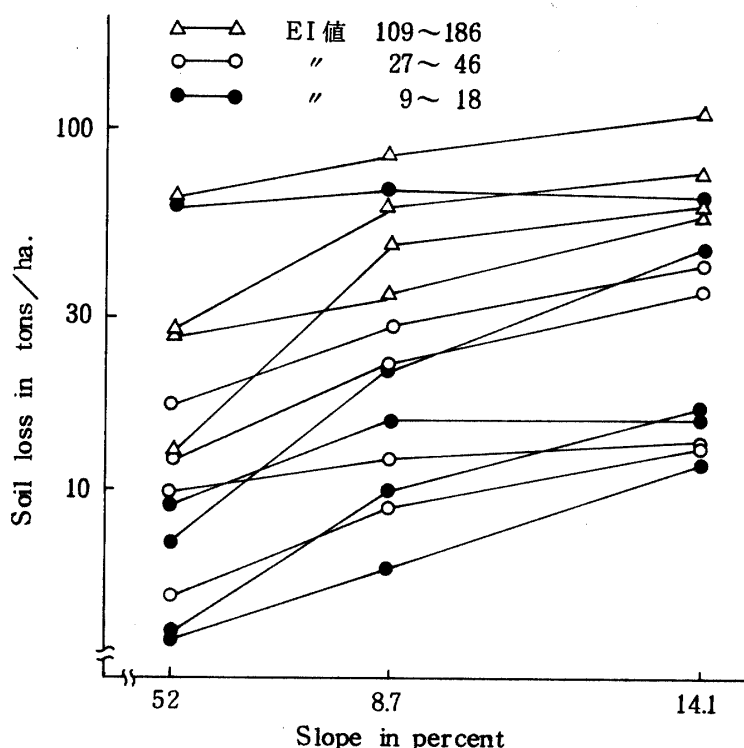


Fig. 2. Soil loss vs degree of slope

3. 降雨エネルギーと流亡土量との関係

土壤侵食に関する降雨要因の中で降雨強度が最も重要な意味をもつといわれている。すなわち Neal は降雨強度は流去や侵食に影響をおよぼす最も重要な因子であるとし⁸⁾、種田等は裸地の土壤侵食は降雨量よりも降雨強度の影響が大きく、とくに短期間のものほど高い相関関係を示すことを明らかにしており¹⁷⁾、Barnett は降雨強度の中で最大 60 分間強度が土壤侵食に最も密接な関係にあると指摘している¹⁾。また藤川等は人工降雨によるシラス土壤の侵食実験をした結果、土槽コウ配が大きくなると、土壤侵食量は降雨エネルギーよりも地表コウ配や表面流去水量に強く支配されるとしている²⁾。

降雨エネルギーを降雨強度の関数として数式により求める方法は Wishmeire, Smith¹⁸⁾ が提唱した

ものだが、何分間強度を採用するか、また何mm以上の雨を基に計算するかはその地域の侵食要因によって異なるものと思われる。Hudson⁵⁾はアフリカの亜熱帯地方で1時間25.4 mm以上の降雨強度による運動エネルギーが他のどの降雨要因によるよりも土壤流亡と関係が深いと報告している。

本研究で採用したEI値は前述したように一雨連続13mm以上の降雨と60分強度を基に算出したものである。Table 4に傾斜別、EI値別に流亡土量を示した。一雨ごとに流亡土の測定ができなかった場合はそれぞれの影響降雨とその生起月日を記した。

Fig. 3は傾斜別にEI値と土壤流亡量を両対数紙にプロットしたものである。両者の関係を最小自乗法で処理して回帰式を求めるとき、傾斜別にそれぞれ図中の方程式で表わされ、傾斜度の低い程相関関係は高くなっている。また2例を除き同一EI値では傾斜度の高い程流亡土量は多くなっている。

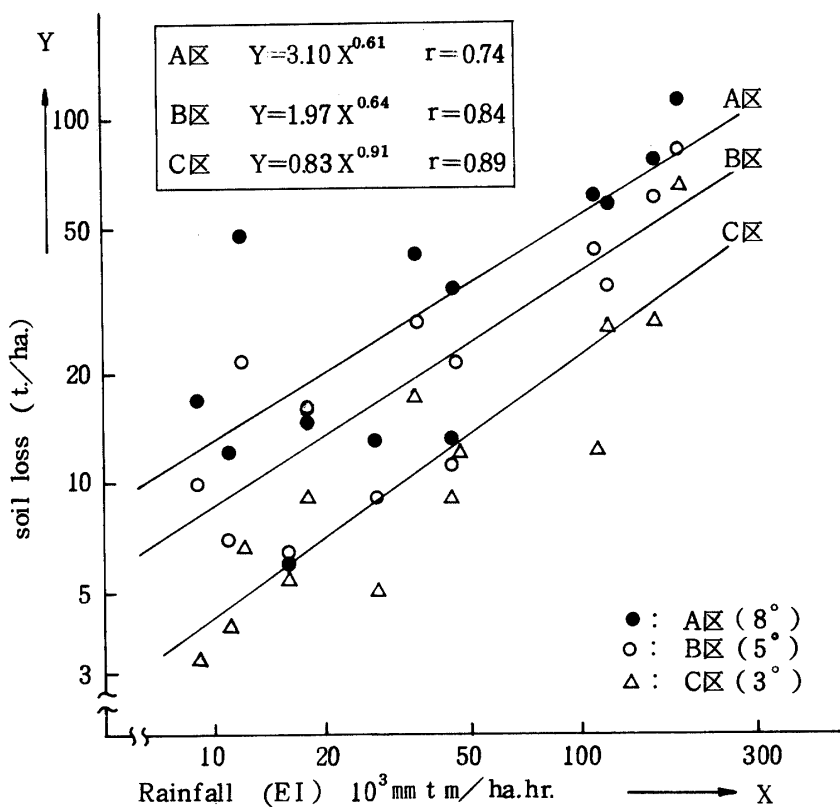


Fig. 3. EI value vs soil loss

4. 流亡土の粒径組成

4つの降雨による流亡土の粒径組成を調べてTable 5に示した。試験区や降雨の大小を問わず、0.42 mm未満の粒子が大部分を占めている。Swanson等¹⁴⁾は人工降雨(63.5 mm/hr)による侵食試験の結果3%, 7%, 12%試験区において、供試土表層で0.05 mm以下の粒子の占める割合がそれぞれ91, 91, 93%のとき、流亡した土粒子の中で同じく0.05 mm以下の粒子の占める割合は96, 95, 94%であること、更に傾斜が急なほどより粗い粒子が運ばれることを報じている。また藤川等³⁾は人工降雨によるマサ土の土壤侵食実験結果から流出土の粒径組成の重量比の大小は雨量強度、流出の経過時間によって変化すると述べている。本試験地の表層土の粒径組成で0.4 mm以下分が53.5%を占めているが、流亡土のそれはすべて60%以上を占めている。面状侵食によりいわゆるErosion Pavementの現象

Table 5. Grain size of eroded soil by inclination

Rainfall (mm)	$\geq 2.0 \text{ mm}$			$\geq 0.42 \text{ mm}$			$0.42 \text{ mm} >$		
	A	B	C	A	B	C	A	B	C
35	3.0	2.9	1.1	10.4	7.6	2.4	86.6	89.5	96.5
183	5.1	8.2	8.4	12.7	18.2	21.4	82.2	73.6	70.2
86	1.9	3.7	0.9	8.0	13.4	7.7	90.1	82.9	91.4
33	11.3	11.4	3.9	28.3	27.5	18.2	60.4	61.1	77.9

が起きたものと思われる。また傾斜度別に流亡土の最大粒径を調べてみると傾斜による影響は殆んどみられない。Table 5にみるように降雨量による影響がないことと併せてこれらのこととは流去水の水みちの形成の難易等や粗い粒子の流亡の阻害要因が各試験区とも異なることによるものであると思われる。

IV まとめ

本研究の観測期間中（昭和52年6月1日～53年4月30日）における連続13mm以上の降雨回数は34で、それらの総和は約2,000mmであるが、その中で2回連続降雨の場合を除き、毎降雨ごとの流亡土観測可能回数が27回であるが、実際は欠測や2～3回の降雨による1回の観測等もあって、13回（20回降雨回数）の観測をもとにまとめたものである。結果は次のように要約されよう。

- 観測期間中の降雨エネルギーは $924 (10^3 \text{mm t/ha} \cdot \text{hr})$ であり、Table 4 のその期間の平均値 689 をはるかに上回るものである。
 - 観測された流亡土量 ($t/\text{ha.}$) は 8 度区、5 度区、3 度区でそれぞれ 506, 353, 202, であり土壤の仮比重 (1.4) をもとに土層厚に換算するとそれぞれ 3.6 cm, 2.5 cm, 1.4 cm となり極めて大きい侵食量といえる。
 - 一般に傾斜度が増せば流亡土量も増大する。
 - 降雨エネルギーと各傾斜別の流亡土量との間には $Y = a X^b$ の関係が成り立ち、特に 5 度区と 3 度区 + は X と Y の相関が比較的高い。

終りに本研究は昭和51年度文部省科学研究費の補助によるもので、沖縄開発庁土地改良課の協力のもとに行なわれたものである。また本研究に協力下さった屋嘉区長の大城氏および関係区民の方々に謝意を表します。

V 参考文献

1. Burnett. A. P. 1958 How intense rainfall affects runoff and soil erosion, *Agricultural Engineering*, **39**: 703 – 707
 2. 藤川武信, 高山昌照, 吉田 勲, 安中正美 1975 沖縄開発に伴う土地環境の変化と防災に関する研究 — 人工降雨による土壤侵食実験 — , 文部省自然災害特別研究成果報告, **46** – 53
 3. 藤川武信, 加来 研, 吉田 勲, 三輪晃一 1973 火山灰土および沖積地帯の農地整備と保全, 土質理工学研究報告第, **17**: 1–7, 九州大学農学部

4. 藤原輝男 1975 沖縄開発に伴う土地環境の変化と防災に関する研究 — 沖縄の降雨特性—，文部省自然災害特別研究成果報告，38-45
5. Hudson, N. W. 1961 An introduction to the mechanics of soil erosion under conditions of subtropical rainfall, Proc, trans, Rhod, Sci, Assoc, 49(1) ; 15 [Elwell, H. A. and Stocking, M. A. 1973, Rainfall parameters for soil loss estimation in a subtropical climate, J. Agric. Engng. Res., 169-177]
6. 一戸貞光 1963 琉球における山地農業の現状と問題点(続)，沖縄農業, 2(1): 80-89
7. 三原義秋 1951 雨滴と土壤侵食，農業技術研究報告，A(1) : 1-59
8. Neal, J. H. 1938 Effect of degree of slope and rainfall characteristics on runoff and soil erosion, Agricultural Engineering, 19: 213-217
9. 沖縄県 1978 赤土の流出による漁場の汚染状況調査報告書，50
10. 沖縄県農林水産部農林建設課 1975 沖縄県農地保全事業指針(案)，60-67
11. 翁長謙良 1969 沖縄における農地保全の基礎的研究(第1報)-土壤侵食に関する2, 3の降雨特性について，琉球大学農学部学術報告第，16：180-187
12. ——— 1974 沖縄における農地保全の基礎的研究VI-土壤侵食に関する2, 3の降雨特性について(2) —，琉球大学農学部学術報告第，21：173-180
13. Smith, D. D. and Wischmeire, W. H. 1962 Rainfall erosion, Advance in Agronomy, 14: 109-148 [15]
14. Swanson, N. P. and Dedric, A. R. 1967 Soil particles and aggregates transported in water runoff under various slope conditions using simulated rainfall, Transaction of the ASAE, 10(2) : 246-247
15. 種田行男 1975 農地の土壤侵食量の予測，農業土木学会論文集第，56：8-11
16. ——— 1976 降雨侵食の可能性を示す降雨係数の算定，農業土木学会論文集第，65：15-19
17. ———, 富田正彦 1972 雨滴のエネルギーからみた土壤侵食と降雨強度の関係，農業土木学会論文集第，40：23-26
18. Wischmeir, W. H. Smith, D. D., Uhland, R. E. 1958 Evaluation of factors in the soil-loss equation, Agricultural Engineering, 39: 458-462

Summary

This study has been done in order to establish criteria and guidelines applicable to field problems in northern parts of Okinawa, which excell in Kunigami Maji soils. These soils are usually acidic, infertile and erosive physically but productive of both pineapple and tea. The textural composition and physical properties of the soils are shown in Table 1.

Three field plots have been selected for soil erosion experiment at Yaka, Kin-son.

The plots were set at inclines of 8 (A), 5 (B), and 3 (C) degrees, respectively. The period of observation is from June, 1977 to April 1978 and the rainfall of the area was calculated for this period. The data obtained are as shown in Table 5.

The results of this observation are as follows:

1. The rainfall at Yaka was 924 (10^3 mm tm/ha, hr,) during the period of observation and this amount surpassed the annual average rainfall (689) in Naha .
2. The soil loss from the plots A, B, and C is 506 t/ha, 353 t/ha, and 202 t/ha, respectively.
3. Generally, the soil loss increases with the increase of inclination.
4. The relationship between the amount of rainfall and the loss of soil is formulated as the equation $Y = aX^b$, where Y is soil loss in tons per ha, and the rainfall in 10^3 mm-m-t per ha. hr.